

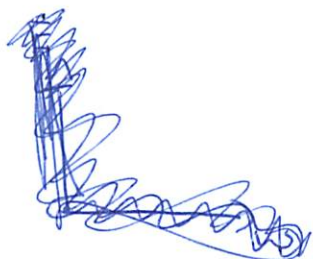
(16) Interpretieren WFT durch Einheiten: (Planck)

des Wert steht in einzelnen "Anzahln" auf  
die Oberfläche, deren Einheit durch die Frequenz bestimmt  
ist und diese Anzahl pro Fläche und Zeit eine Intensität (Wolby)  
(Pödel)

$$E = h \cdot v = \frac{\mu}{2\pi} w = \hbar w \quad \hbar = \frac{\mu}{2\pi} \quad 1905$$

Wolby 1921

$$\hbar = 6,58 \cdot 10^{-16} \text{ eVs}$$



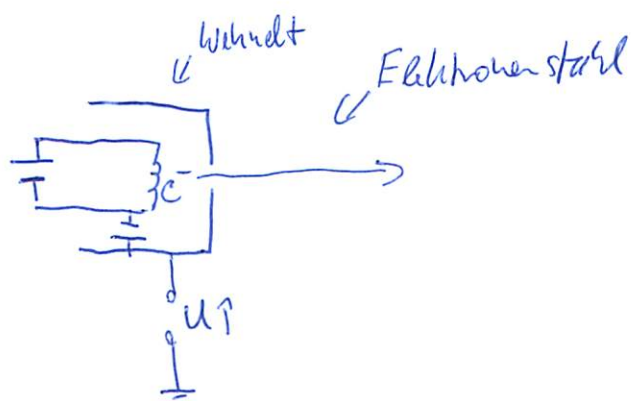
Einheit : Einheiten

$$1 \text{ eV} \approx 1/6 \cdot 10^{-19} \text{ J}$$

$$E = h v \quad \rightsquigarrow \quad 1 \text{ eV} \approx 2.42 \cdot 10^{14} \text{ Hz} \quad (1 \text{ meV} = 2.42 \text{ THz})$$

Welle zum "Kaysen" -  $\frac{1}{2}$  incm  $\rightsquigarrow$   $1 \text{ eV} = 8066 \text{ Kaysen}$   
 $1 \text{ meV} = 8.066 \text{ Kaysen}$   
(~~Aus~~  $\times$  Kaysen Schreibt in der passen  $\times$  Wellenlänge)

### Elektronenstrahl



(17)

Davisson und Germer 1919



→ Elektron verhält sich nun wie Welle!

Folie, Experiment

mit Beobachtung (nicht relativistisch)

$$\lambda = \frac{h}{\sqrt{2mE_{kin}}} = \frac{h}{mv} = \frac{h}{P} \quad V: \text{feschwindigkeit}$$

$E_{kin}$  [eV] 10 100 1000

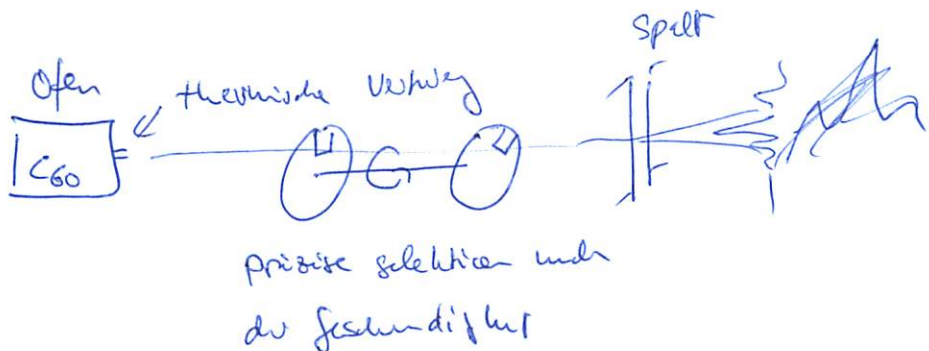
$\lambda$  [ $\text{\AA}$ ] 3,6 1,2 0,39

de Broglie Wellenlänge

$$\lambda = \frac{h}{P}$$

(18)

## moderne Untersuchung

t-b. C<sub>60</sub> (C<sub>60</sub> × N<sub>2</sub> u !)

$$v = 220 \text{ m/s} \quad m = 720 \text{ u} \quad \lambda = 2.8 \times 10^{-12} \text{ m !}$$

→ Folie (2)

$$\text{Sichtbare Ende} \quad \lambda = \frac{h}{p} = \frac{h}{mv} \quad h = 6 \cdot 10^{-34} \text{ Js}$$

$$\text{Beispiele} \quad \text{Elektron} \quad v = 1 \text{ m/s} \quad m = 9,1 \cdot 10^{-31} \text{ kg}$$

$$\Rightarrow \lambda \approx 1 \text{ nm}$$

$$\text{Fußball} \quad v = 1 \text{ m/s} \quad m = 0,6 \text{ kg}$$

$$\lambda \approx 10^{-33} \text{ m}$$

nicht beobachtbar!

sollte bekannt sein aus Optik

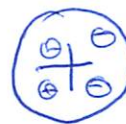
"Tüllen" geometrische Optik für System  $\Rightarrow \lambda$   
 "Wellen" Wellenoptik für System  $\sim \lambda$

13  
18

1.3

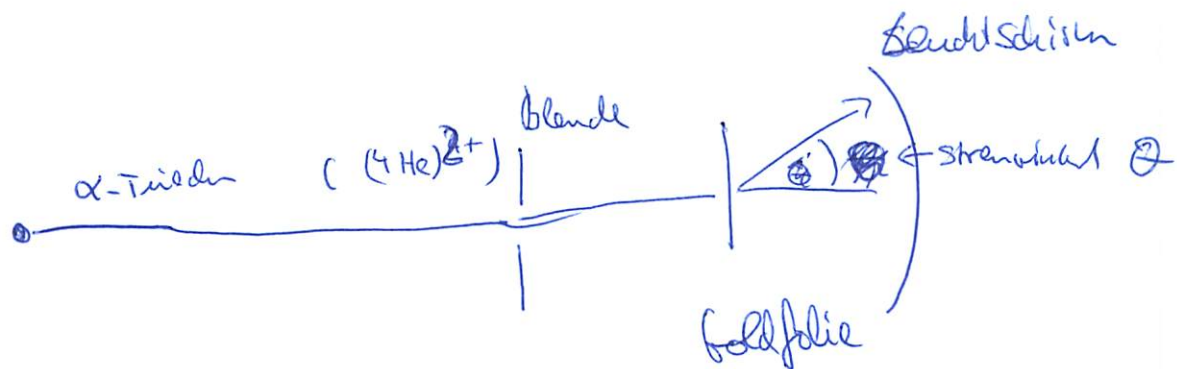
## Struktur der Atome

1903 thomson'sche Atommodell

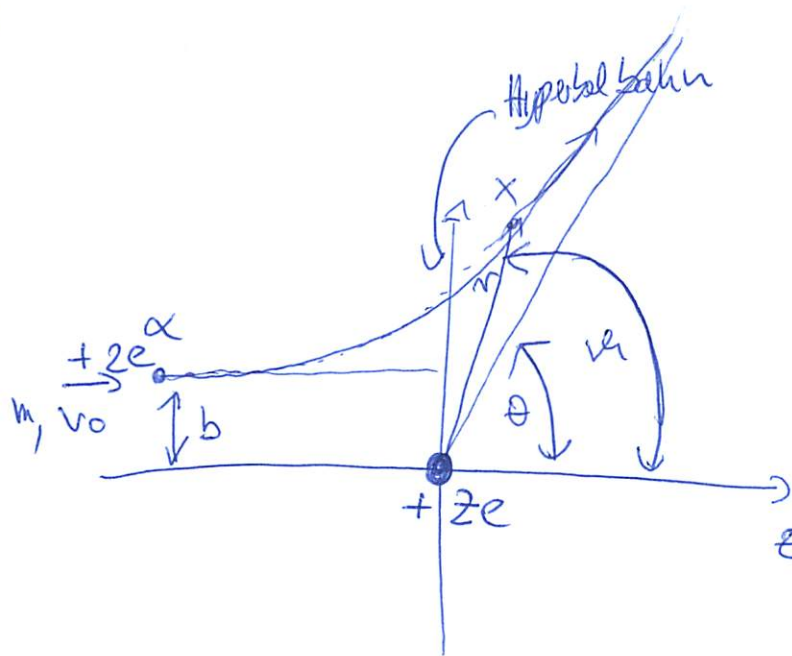


unzelle Elektronen im Atom wie "Positronen"  
im Kuchen". Positive Ladung gleichmäßig verteilt.

1909 Rutherford'sches Atommodell



$m_{\alpha} \gg m_e$ , wir vernehlüssigen daher die  
Streuung des  $\alpha$ -Tiichs mit den Elektronen des  
Golds. Stößt nun mit den schwereren positiven Ladungen  
 $m_{\alpha} \gg m_{He}$



$$F_x = + K_0 \frac{\sin \vartheta}{r^2}$$

$$K_0 = \frac{2 \pi e^2}{4 \pi \epsilon_0}$$

Von der

$$\text{Drehimpuls } L_y = m b v_0$$

$$= m r^2 \dot{\vartheta}$$

$$\rightarrow r^2 = b v_0 / \dot{\vartheta}$$

$$\Rightarrow F_x = \frac{2 \pi e^2}{4 \pi \epsilon_0} \frac{\sin \vartheta \cdot \dot{\vartheta}}{b v_0}$$

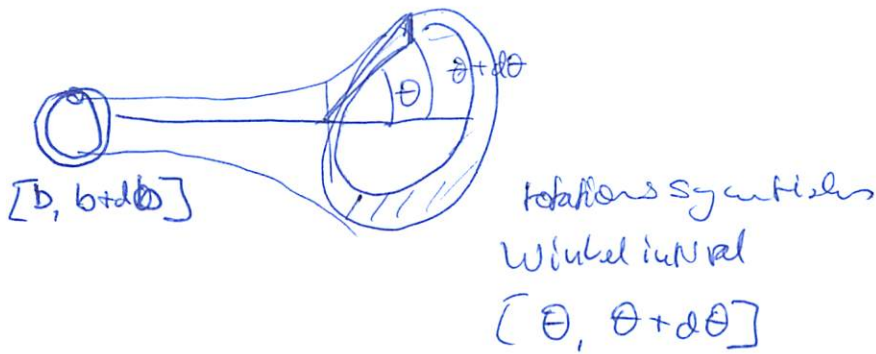
$$v_x = \int_0^{v_0 \sin \theta} dv_x = \frac{2 \pi e^2}{4 \pi \epsilon_0} \frac{1}{b v_0} \int_{\pi/2}^0 \sin \vartheta \frac{d\vartheta}{dt} dt$$

$$m \frac{dv_x}{dt} = F_x$$

$$dv_x = \frac{F_x}{m} dt$$

$$\Rightarrow b = \frac{2 \pi e^2}{4 \pi \epsilon_0} \frac{v_0 \cot(\theta/2)}{m v_0^2} = \frac{k_0 \cot(\theta/2)}{2 E_{kin}}$$

(20)



$$d\Gamma - 2\pi b \, db = 2\pi b \frac{db}{d\theta} d\theta$$

Raumwinkel  $d\Omega = 2\pi \sin \theta \, d\theta$

$$\rightarrow \frac{d\sigma}{d\Omega} = \left( \frac{2Z}{4\pi\epsilon_0 \cdot 4F_{kin}} \right)^2 \frac{1}{\sin^4(\theta/2)}$$

Experiment von Rutherford

Strahlungswinkel folgt perfekt  $\frac{1}{\sin^4(\theta/2)}$

bis zu  $\theta = 150^\circ$

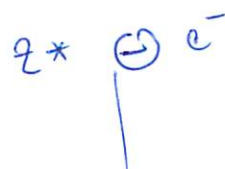
Das dazugehörige  $b$  ist  $6 \cdot 10^{-15} \text{ m}$ !

$\rightarrow$  Die positiven Ladungen sind konzentriert im

"Kern" des Atoms

$m_e \ll m_{Kern}$

Also:



$+ \text{Zet}$   
 $1 \cdot 10^{-15} \text{ m}$

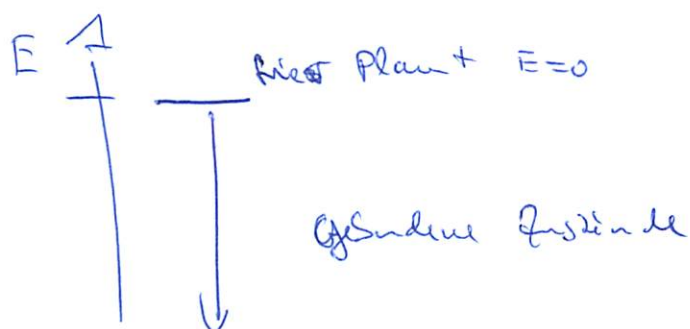
$10^{-10} \text{ m}$

Ahorn stand leer!

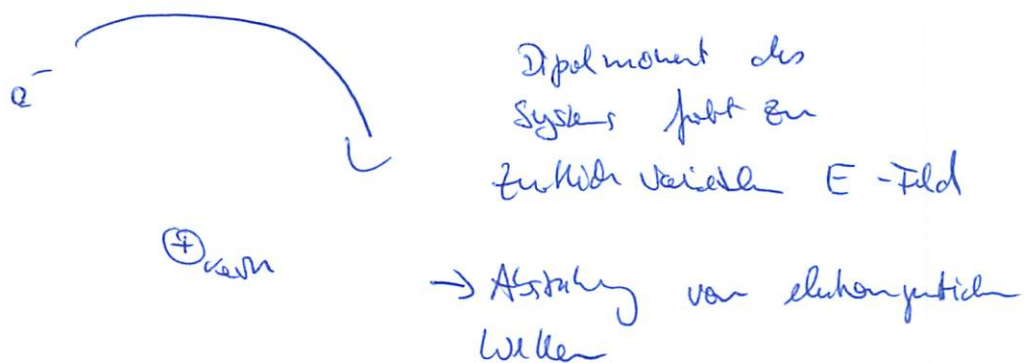
(22)  $\rightsquigarrow$  Atom verhalten sich ähnlich wie das Plankensystem  
 leicht plausibel (Elektron) nutzen die Schwerpunkte (Kern)  
 Das Plankensystem (Atom) ist schwierig klar.

#### 1.4 Direkte Spalten des Atoms

Zur Plausibil.: wenn sich Zentralkräfte und Führerkräften ausgleichen sind Bahnen stabil. Bahnen selbst für Aggregatzustände sind bezw Fluktuationen instabil



Wie sieht es mit Bahnen der Elektronen bei den Kernen aus?



$\rightarrow$  Spalten des Atoms

Versuch: diskrete Linien in Emission  
 (und Absorption).

Kirchhoff und Bunsen: Spektralanalyse 1850  
 Jeder ~~Atom~~ Element hat charakteristische Spektallinien

(25)

## Das Wasserstoffspektrum

Balmer Serie des Wasserstoffs (im sichtbaren Bereich)

H $\alpha$	H $\beta$	H $\gamma$	H $\delta$	H $\epsilon$
656 128 nm	486 13 nm	434,05 nm	410,17 nm	
(1853) Angaben				

1885 Balmer :  $\lambda = \frac{h_1^2}{n_1^2 - 4} \cdot G_1$

$$n_1 = 3, 4, \dots \in \mathbb{N}$$

oder  $\frac{\Delta}{\lambda} = R_H \left( \frac{1}{2^2} - \frac{1}{n^2} \right), n > 2 \in \mathbb{N}$

$$R_H = \frac{4}{G_1} \quad \text{Rydberg Konstante} \quad R_H = 109 677,581 \text{ cm}^{-1}$$

Lyman Serie (VV)  $\lambda < 121,6 \text{ nm}$ 

analog:  $\frac{\Delta}{\lambda} = R_H \left( \frac{1}{1^2} - \frac{1}{n^2} \right), n > 1 \in \mathbb{N}$

Paschen Serie (IR)  $\lambda < 1875 \text{ nm}$ 

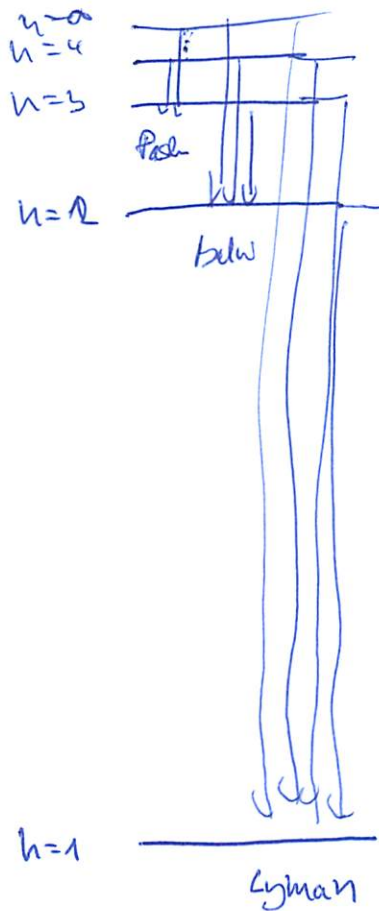
analog  $\frac{1}{\lambda} = R_H \left( \frac{1}{3^2} - \frac{1}{n^2} \right), n > 3 \in \mathbb{N}$

Brückhoff

$$\left( \frac{1}{4^2} - \frac{1}{n^2} \right), n > 4 \in \mathbb{N}$$

(24)

→ Energiechema der „Ehrenfest Schalen“



$$E_n = -\frac{13,6 \text{ eV}}{n^2} = -\frac{R_H}{n^2} \quad R_H \text{ Rydbergkonstante}$$

~~$\Delta E 1 \text{ Ry} = 13,6 \text{ eV}$~~

Ground Zustand

h=1

Lyman

Klassisch ist die „Quantisierung“ auf einer Reihe von diskreten Bahnenenergien nicht nachvollziehbar!

Wie geht das an die Quantisierung des Photons?

Nehm!

Versuch von Franck und Hertz (1914)

Ander Antrag an Atome durch Stoß mit Elektronen  
führt zu großer Quantisierung der Bahnenenergien!